

A. A. Бобнев

**ПРОБЛЕМА АВТОМОДЕЛЬНОСТИ  
В ВЫСОКОТЕМПЕРАТУРНЫХ ПОТОКАХ  
И ПРИНЦИП МИНИМАЛЬНОГО ГРАДИЕНТА**

При исследовании течения высокотемпературной струи из цилиндрического отверстия в приближении пограничного слоя возникает задача

$$(1) \quad \frac{1}{r} \frac{\partial}{\partial r} r \frac{\partial v_z}{\partial r} = \rho \left( v_r \frac{\partial v_z}{\partial r} + v_z \frac{\partial v_z}{\partial z} \right), \quad \frac{1}{r} \frac{\partial}{\partial r} r \rho v_r + \frac{\partial}{\partial z} \rho v_z = 0,$$

$$\frac{1}{r} \frac{\partial}{\partial r} r \frac{\partial T}{\partial r} = \text{Pr} \rho \left( v_r \frac{\partial T}{\partial r} + v_z \frac{\partial T}{\partial z} \right), \quad \rho T = 1, \quad v_r = \frac{\partial v_z}{\partial r} = \frac{\partial T}{\partial r} = 0 \text{ при } r = 0;$$

$$(2) \quad v_z = 0, \quad T = T_\infty \text{ при } r \rightarrow \infty$$

с условиями сохранения

$$(3) \quad \int_0^\infty \rho v_z^2 r dr = 1, \quad \int_0^\infty \rho v_z (T - T_\infty) r dr = 1.$$

Здесь  $r, zR$  — цилиндрические координаты ( $r, z$  — внутренние координаты в асимптотическом разложении по малому параметру  $R^{-1}$ );  $R = \sqrt{\rho_m I_{1m}/2\pi}/\mu_m$  — аналог числа Рейнольдса;  $v_z, v_r R$  — осевая и радиальная составляющие скорости;  $T$  — температура;  $\rho$  — плотность;  $\text{Pr} = c_{pm}\mu_m/\lambda_m$  — число Прандтля. Считываются заданными масштабы температуры  $T_m$ , плотности  $\rho_m$ , удельной теплоемкости при постоянном давлении  $c_{pm}$ , теплопроводности  $\lambda_m$ , динамической вязкости  $\mu_m$ , полного потока импульса  $I_{1m}$ , полного потока энталпии  $I_{2m}$ :

$$I_{1m} = 2\pi\rho_m V_m^2 L_m^2 \int_0^\infty \rho v_z^2 r dr,$$

$$I_{2m} = 2\pi c_{pm}\rho_m T_m V_m L_m^2 \int_0^\infty \rho v_z (T - T_\infty) r dr.$$

В качестве масштабов скорости и длины выбраны соответственно  $V_m = c_{pm} T_m I_{1m}/I_{2m}$ ,  $L_m = I_{2m}/(c_{pm} T_m \sqrt{2\pi\rho_m I_{1m}})$ .

При  $T_\infty \rightarrow 0$  граничные условия (2) и интегральные условия (3) можно переписать в виде [1]

$$(4) \quad \int_0^{r_0(z)} \rho v_z^2 r dr = 1, \quad \int_0^{r_0(z)} v_z r dr = 1, \quad v_z = T = 0 \text{ при } r \rightarrow r_0(z),$$

где интегралы выписаны в предположении о их существовании;  $r_0(z)$  — поверхность раздела, отделяющая течение высокотемпературного сжимаемого газа от течения холодного несжимаемого газа с постоянной температурой. Отметим, что в некотором диапазоне параметров поверхности раздела может не существовать, тогда в формулах (4) следует положить  $r_0 \rightarrow \infty$ . При  $T_\infty \rightarrow 0$  для задачи (1), (4) построим автомодельное решение

$$(5) \quad v_z(r, z) = \frac{3 - \text{Pr}}{4} \frac{1}{z} \left( 1 - \frac{x^2}{x_0^2} \right)^{2/(\text{Pr}-1)}, \quad T = \frac{\text{Pr}+1}{4} \frac{1}{z} \left( 1 - \frac{x^2}{x_0^2} \right)^{2\text{Pr}/(\text{Pr}-1)},$$

$$v = \frac{3 - \text{Pr}}{8} \frac{r}{z^2} \left[ \left( 1 - \frac{x^2}{x_0^2} \right)^{2/(\text{Pr}-1)} - \left( 1 - \frac{x^2}{x_0^2} \right)^{(1+\text{Pr})/(\text{Pr}-1)} \right],$$

$$x = r/\sqrt{z}, \quad x_0^2 = 8(\text{Pr}+1)/[(3-\text{Pr})(\text{Pr}-1)],$$

которое при  $\text{Pr} < 1$  пригодно на полубесконечном интервале  $r$  ( $0 \leq r < \infty$ ), а при  $1 \leq \text{Pr} < 3$ , как показано в [1], — на конечном интервале  $0 \leq r < r_0(z)$ . При  $\text{Pr} > 3$  решение (5) становится непригодным, так как константа автомодельности для скорости получена в предположении о существовании интегралов (4), а при  $\text{Pr} \geq 3$  первый интеграл в (4) не существует.

Решение задачи (1), (4) при  $\text{Pr} > 3$  будем искать в форме

$$(6) \quad v_z(r, z) = z^{\alpha_w} w(x), \quad T = z^{-1} \theta(x), \quad v_r = z^{-\alpha_r - 1} v(x), \\ r = z^{\alpha_r} x, \quad \alpha_w = -2\alpha_r.$$

Здесь  $w, \theta, v, x$  — автомодельные переменные;  $\alpha_w, \alpha_r$  — константы автомодельности; при установлении связей между константами автомодельности предполагалось существование второго интеграла в (4). Подставив (6) в (1), (4), получим

$$(7) \quad \frac{1}{x} (xw')' = -\frac{1}{\theta} [vw' + w(\alpha_w v - \alpha_r xw')], \\ \frac{1}{x} \left( \frac{xv}{\theta} \right)' + (\alpha_w + 1) \frac{w}{\theta} - \alpha_r x \left( \frac{w}{\theta} \right)' = 0, \\ \frac{1}{x} (x\theta')' = \text{Pr} \theta^{-1} [v\theta' + w(-\theta - \alpha_r x\theta')], \\ w' = \theta' = v = 0 \text{ при } x = 0, \quad w = \theta = 0 \text{ при } x = x_0$$

( $x_0$  — точка раздела, связанная с поверхностью раздела формулой  $r_0 = z^{\alpha_r} x_0$ ). Введя новую функцию

$$(8) \quad s = \text{Pr}(v - \alpha_r xw),$$

задачу (7) преобразуем:

$$(9) \quad \frac{1}{x} (xw')' = \frac{s\omega'}{\text{Pr} \theta} + \alpha_w \frac{w^2}{\theta}, \quad \frac{1}{x} (xs)' = \frac{s\theta'}{\theta} - \text{Pr} w, \\ \frac{1}{x} (x\theta')' = \frac{s\theta'}{\theta} - \text{Pr} w, \quad w' = \theta' = s = 0 \text{ при } x = 0, \quad w = \theta = 0 \text{ при } x = x_0.$$

Так как уравнения и начальные условия в (9) для  $s$  и  $\theta'$  совпадают, то

$$(10) \quad s = \theta'.$$

Таким образом, в задаче (9) можно понизить порядок, и с помощью (10) она примет вид

$$(11) \quad \frac{1}{x} (xw')' = \frac{\theta' w'}{\text{Pr} \theta} + \alpha_w \frac{w^2}{\theta}, \quad \frac{1}{x} (x\theta')' = \frac{\theta'^2}{\theta} - \text{Pr} w, \\ w' = \theta' = 0 \text{ при } x = 0, \quad w = \theta = 0 \text{ при } x = x_0.$$

Отметим, что решения задачи (11) инвариантны к преобразованию

$$(12) \quad w \rightarrow C_1 w, \quad \theta \rightarrow C_2 \theta, \quad x \rightarrow C_1^{-1/2} C_2^{1/2} x$$

( $C_1, C_2$  — произвольные постоянные). Это позволяет в качестве условия нетривиальности задавать, например, начальные условия

$$(13) \quad w = \theta = 1 \text{ при } x = 0.$$

Решив задачу (11), (13) и воспользовавшись инвариантными свойствами (12), можно пронормировать решения согласно интегральным условиям (4) или же каким-либо другим образом.

Можно было бы ожидать, что решения задачи (11), (13) существуют не при всяком значении константы автомодельности для скорости  $\alpha_w$  (т. е.  $\alpha_w$  — аналог собственного значения), но при численном расчете оказалось, что  $\alpha_w$  принимает множество значений из интервала  $\alpha_{wc} < \alpha_w < \infty$ . Для того чтобы сформулировать условие, исходя из которо-

то можно было бы выбрать единственное значение  $\alpha_w$ , рассмотрим решения задачи (11), (13) в окрестности точки раздела:

$$(14) \quad w = A(x_0 - x)^a, \theta = B(x_0 - x)^b.$$

Подставив (14) в (11), имеем

$$(15) \quad B[a(a-1) - ab \Pr^{-1}] - A\alpha_w = 0, \quad Bb - A\Pr = 0, \quad b = a + 2.$$

Уравнения (15) линейны и однородны относительно неизвестных  $A, B$ . Приравняв нулю определитель системы (15), получим

$$(16) \quad a = \frac{\Pr + 2 + \alpha_w}{2(\Pr - 1)} \pm \frac{1}{2(\Pr - 1)} \sqrt{\Pr^2 + (4 + 10\alpha_w)\Pr + (\alpha_w - 2)^2},$$

$$B = \frac{\Pr}{a+2} A.$$

Из численных расчетов задачи (11), (13) следует, что ее решения в окрестности точки раздела ведут себя согласно (14), (16), причем в (16) в формуле для  $a$  необходимо брать у корня квадратного знак минус.

Таким образом, существует континuum решений (6), удовлетворяющих системе (1) и граничным условиям (1), (4). Из физических соображений очевидно, что вязкость препятствует течениям с большими градиентами скорости (то же самое можно сказать и о влиянии теплопроводности на градиент температуры). Поэтому в качестве критерия отбора решений сформулируем следующий принцип: из математически возможных высокотемпературных течений физически реализуется лишь то, у которого градиент скорости (или, что в данном случае эквивалентно, градиент температуры) у поверхности раздела минимален. В связи с тем, что градиент скорости на поверхности раздела неограниченно велик, терминологически строже было бы потребовать минимум особенности градиента скорости, а для температуры — минимум особенности какой-либо стремящейся к бесконечности производной. Однако физическое содержание наиболее отражается в термине «минимальный градиент» (его следует рассматривать не на самой поверхности раздела, а в сколь угодно близкой окрестности ее) тем более, что, по-видимому, существуют ситуации, когда ни градиент скорости (или температуры), ни его производные в окрестности поверхности раздела не имеют особенностей. Принцип минимального градиента для рассматриваемой задачи используется только в случае, если не существуют интегралы вида (4).

Из формулы (16) и численных расчетов вытекает, что при  $\Pr > 3$  градиент скорости у поверхности раздела минимален ( $a$  максимальна), если

$$(17) \quad \alpha_w = 2 - 5\Pr + \sqrt{24\Pr(\Pr - 1)},$$

значение  $a$  при этом определяется по формуле

$$(18) \quad a = \sqrt{6\Pr/(\Pr - 1)} - 2,$$

т. е. принцип минимального градиента реализуется как условие кратности корня  $a$  в (16). В рамках настоящего исследования принцип минимального градиента означает с математической точки зрения выбор предельного значения  $\alpha_w$ , ниже которого решение задачи (11), (13) уже не существует. Из (18) вытекает, что при  $\Pr > 3$   $a < 1$ , т. е. градиент скорости у поверхности раздела неограниченно велик. В связи с кратностью корня  $a$  в (16) для системы (11) пригодны как решения вида (14), так и решения  $w = A(x_0 - x)^a \ln(x_0 - x)$ ,  $\theta = B(x_0 - x)^b \ln(x_0 - x)$ , и численным образом трудно установить, какое из них будет реализовываться вблизи точки раздела.

На рис. 1 изображены построенные численно решения задачи (11), (13), (17) для продольной скорости и температуры при разных  $\Pr$ , а на рис. 2 — решение для поперечной скорости  $v$ , определяемое с помощью формул (10), (8). С увеличением  $\Pr$  профиль продольной скорости ста-

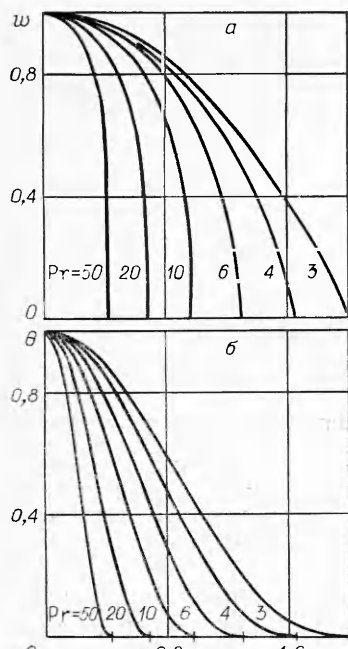


Рис. 1

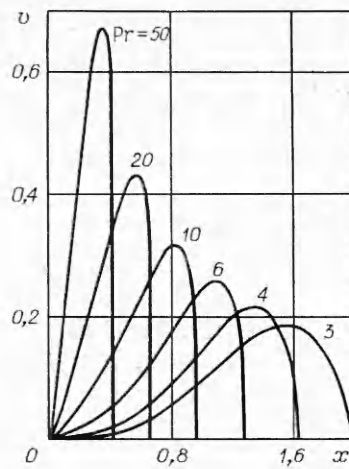


Рис. 2

новится более наполненным, толщина высокотемпературного пограничного слоя  $x_0$  уменьшается, поперечная составляющая скорости увеличивается. При  $\text{Pr} \rightarrow \infty$ , сформулировав предельный процесс в виде

$$(19) \quad t = x\sqrt{\text{Pr}} \text{ фиксировано при } \text{Pr} \rightarrow \infty,$$

построим асимптотическое разложение

$$(20) \quad \begin{aligned} w(x, \text{Pr}) &= w_0(t) + \dots, \quad \theta(x, \text{Pr}) = \theta_0(t) + \dots, \\ \alpha_w(\text{Pr}) &= \alpha_0 \text{Pr} + \dots, \quad x_0(\text{Pr}) = t_0 \text{Pr}^{-1/2} + \dots \end{aligned}$$

( $\alpha_0 = -5 + \sqrt{24}$  (17)). Подставив (20) в (14), (13), получим на пределе (19) в нулевом приближении по  $\text{Pr}^{-1}$

$$(21) \quad \begin{aligned} \frac{1}{t} \frac{d}{dt} t \frac{dw_0}{dt} &= \alpha_0 \frac{w_0^2}{\theta_0}, \quad \frac{1}{t} \frac{d}{dt} t \frac{d\theta_0}{dt} = \frac{1}{\theta_0} \left( \frac{d\theta_0}{dt} \right)^2 - w_0, \\ \frac{dw_0}{dt} &= \frac{d\theta_0}{dt} = 0, \quad w_0 = \theta_0 = 1 \text{ при } t = 0, \quad w_0 = \theta_0 = 0 \text{ при } t = t_0. \end{aligned}$$

Решения задачи (21) изображены на рис. 3. Таким образом, наполненность профиля  $w$  при  $\text{Pr} \rightarrow \infty$  ограничена функцией  $w_0$ .

Для проверки принципа минимального градиента был проведен численный эксперимент: задача в частных производных (1), (2) дополнялась необходимыми начальными условиями при  $z = z_0$  и решалась численно (в конечных разностях) при достаточно малых значениях  $T_\infty$ . Эти расчеты показали, что вне зависимости от начальных условий решения с ростом  $z$  весьма быстро становились автомодельными, причем константы автомодельности с достаточной точностью удовлетворяли принципу минимального градиента.

При численных расчетах задач с обыкновенными дифференциальными уравнениями использовался метод Рунге — Кутта, для задач в частных производных — метод прогонки с итерациями, при построении асимптотических разложений — идеи методов возмущений [2].

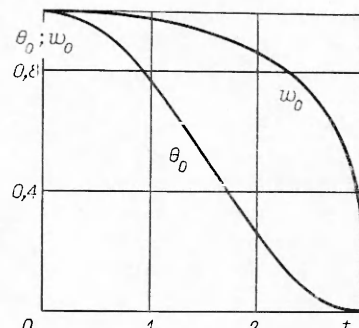


Рис. 3

## ЛИТЕРАТУРА

1. Бобнев А. А. Разделительный слой в высокотемпературных потоках // ПМТФ.— 1983.— № 6.
2. Коул Дж. Методы возмущений в прикладной математике.— М.: Мир, 1972.  
г. Краснодар

Поступила 26/II 1988 г.

УДК 532.516:536.24.01

E. A. Рябицкий

## ОБ УСТОЙЧИВОСТИ ТЕРМОКАПИЛЛЯРНОГО ДВИЖЕНИЯ В ЦИЛИНДРИЧЕСКОМ СЛОЕ

Исследование устойчивости термокапиллярного движения в плоском слое и жидким цилиндре проведено в [1, 2]. В данной работе изучается устойчивость термокапиллярной конвекции в цилиндрическом слое с недеформируемой свободной поверхностью. Исследовано влияние отношения радиусов цилиндров на устойчивость движения. Показано, что для осесимметрических возмущений при некоторых значениях параметров задачи увеличение относительной толщины внутреннего цилиндра приводит к снижению устойчивости.

1. Рассмотрим цилиндрический слой вязкой теплопроводной жидкости, ограниченный твердой внутренней и свободной внешней поверхностями, при отсутствии силы тяжести. Введем цилиндрическую систему координат с осью  $z$ , направленной вдоль образующей цилиндра. Уравнение твердой границы:  $r = r_0$ . Полагаем, что свободная поверхность цилиндрическая ( $r = r_1$ ) и недеформируемая. Изменение коэффициента поверхностного натяжения от температуры описывается формулой  $\sigma = \sigma_0 - \kappa(\theta - \theta_0)$ .

Пусть свободная поверхность нагревается по закону  $\theta_B = -Az$  ( $A$  — заданная постоянная величина). Тогда стационарное осесимметрическое термокапиллярное движение, возникающее вследствие изменения поверхностного натяжения, описывается формулами

$$(1.1) \quad u = v = 0, w = B_1(\xi^2 - d^2) + B_2 \ln(\xi/d), p_\eta = 4B_1, \\ \theta = -\eta - \text{MaPr} [B_1(\xi^4 - 1)/4 - (d^2 B_1 + B_2 + \ln d B_2)(\xi^2 - 1) + \\ + B_2(\xi^2 - d^2) \ln \xi + B_1 d^4 \ln \xi]/4,$$

где постоянные  $B_1 = (1 - d^2 + 2 \ln d) [(1 - d^2)(3 - d^2) + 4 \ln d]^{-1}$ ,  $B_2 = (1 - d^2)^2 [(1 - d^2)(3 - d^2) + 4 \ln d]^{-1}$  находятся из условий прилипания и замкнутости потока

$$(1.2) \quad \int_d^1 \xi w(\xi) d\xi = 0.$$

Здесь и ниже  $\xi = r/r_1$ ;  $\eta = z/r_1$ ;  $d = r_0/r_1 < 1$ ;  $\text{Ma} = r_1^2 \kappa A / \rho v^2$  — число Марангони;  $\text{Pr} = v/\chi$  — число Прандтля;  $\text{Bi} = \beta r_1 / \lambda$  — число Био;  $v$ ,  $\chi$  — коэффициенты кинематической вязкости и температуропроводности;  $\lambda$ ,  $\beta$  — коэффициенты теплопроводности и межфазного обмена;  $\rho$  — плотность. В качестве единиц длины, времени, скорости, температуры и давления выбраны соответственно  $r_1$ ,  $r_1^2/v\text{Ma}$ ,  $v\text{Ma}/r_1$ ,  $Ar_1$ ,  $rv^2\text{Ma}^2/r_1^2$ .

При  $d \rightarrow 0$  движение (1.1) переходит в термокапиллярное течение для полностью жидкого цилиндра:  $u = v = 0, w = (\xi^2 - 0,5)/2, p_\eta = 2, \theta = -\eta - \text{MaPr}(1 - \xi^2)^2/32$ , устойчивость которого изучена в [2]. В [3] рассматривалась устойчивость относительно осесимметрических возмущений движения с логарифмическим профилем скорости, которое не удовлетворяло условию замкнутости (1.2).

Перейдем к исследованию устойчивости движения (1.1). Ищем возмущения вектора скорости, давления и температуры в виде

$$(U, V, W, P, T) = (U(\xi), V(\xi), W(\xi), P(\xi), T(\xi)) \times \\ \times \exp[i\alpha\eta + im\varphi - iC\tau],$$